

Anna Wrześcińska, Jacek Wrześciński

Grób "pradziejowy" z Dziekanowic,
gm. Łubowo, woj. poznańskie, stan.
22

Studia Lednickie 4, 325-338

1996

Artykuł został zdigitalizowany i opracowany do udostępnienia w internecie przez Muzeum Historii Polski w ramach prac podejmowanych na rzecz zapewnienia otwartego, powszechnego i trwałego dostępu do polskiego dorobku naukowego i kulturalnego. Artykuł jest umieszczony w kolekcji cyfrowej bazhum.muzhp.pl, gromadzącej zawartość polskich czasopism humanistycznych i społecznych.

Tekst jest udostępniony do wykorzystania w ramach dozwolonego użytku.

ANNA WRZESIŃSKA, JACEK WRZESIŃSKI
Muzeum Pierwszych Piastów

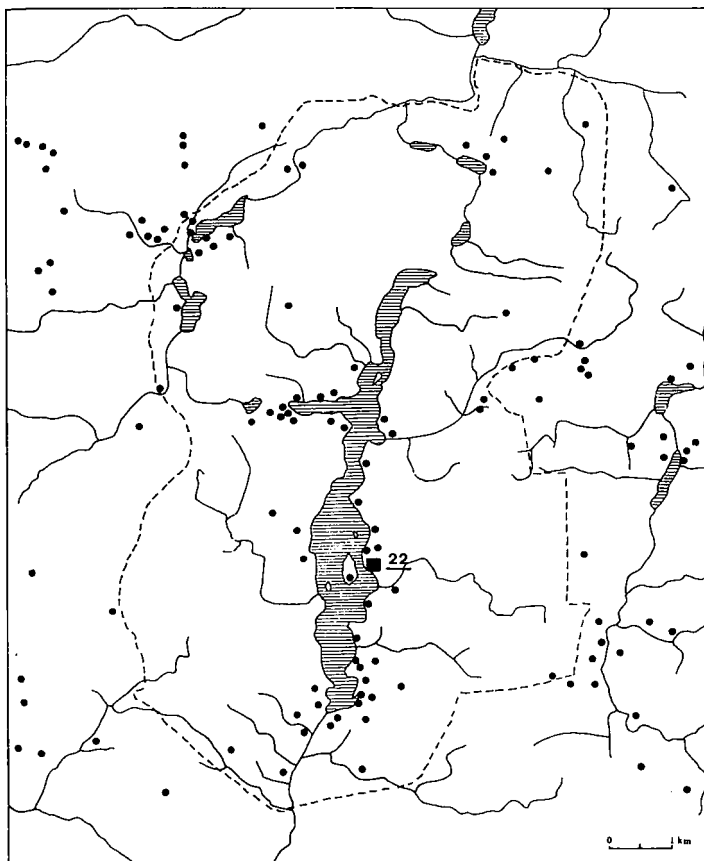
GRÓB „PRADZIEJOWY” Z DZIEKANOWIC, GM. LUBOWO, WOJ. POZNAŃSKIE, STAN. 22

Przypadkowe odkrycie w 1964 roku nad Jeziorem Lednickim, na terenie tzw. Małego Skansenu, dwu wczesnośredniowiecznych grobów szkieletowych dało początek badaniom archeologicznym trwającym do dziś (A. J. Wrzesiński 1992, 1993, 1995).

Stanowisko to, oznaczone jako Dziekanowice 22, położone jest na wschodnim brzegu Jeziora Lednickiego (w pobliżu wczesnośredniowiecznej przeprawy mostowej na Ostrów Lednicki) w odległości ok. 90 m na wschód od brzegu jeziora. Leży na niewielkim wyniesieniu (ok. 5 m ponad obecny poziom jeziora) łagodnie opadającym na zachód i południe (ryc. 1).

W 1992 roku w jednym z założonych wówczas wykopów (wykop II/92) odsłonięto szkielet (in situ 168 cm) o bardzo dobrze zachowanym kośćcu (A. J. Wrzesiński 1993, s. 162 – 163). Ułożony był na osi o kierunku wschód–zachód, głową skierowany na zachód. Wystąpił na głębokości 130 cm (112,50 – 112,30 m n. p. m.) poniżej obecnej powierzchni użytkowej (ryc. 2 i 3) i wkopany był w gliniasto-piaszczysty calec. Zarys jamy grobowej nie był czytelny, jedynie jej południową granicę wyznaczała zbita, twarda glina w jaką wkopano grób.

Zmarły spoczywał na lewym boku z lekko wygiętym do tyłu kręgosłupem wspartym o twarde, gliniasty calec (ryc. 3). Kości kończyn górnych ułożone były przed nim, kości ramienne wzdłuż, a przedramiona skrzyżowane powyżej nadgarstków. Lewa kończyna ułożona powierzchnią boczną wzdłuż tułowia, wyprostowana w stawie łokciowym leżała pod prawą. Ta lekko zgięta w stawie łokciowym ułożona powierzchnią boczną w odcinku ramienia, a kości przedramienia powierzchnią tylną do góry. Ręka lewa ułożona stroną grzbietową do góry zamknięta była w garść. Ręka prawa była odwrócona stroną dłoniową do góry i miała zagięte palce (ryc. 4). Nogi zmarłego były pierwotnie ułożone na lewym boku, kości kończyny prawej na kościach kończyny lewej, lekko ugięte w stawach kolanowych, a podudzia nieznacznie odchyłone do tyłu. Przy nie zmieniającej ułożenia kości miednicznej, nastąpiło przesunięcie kości kończyny prawej przed lewą i przechylenie obu na powierzchnie przednie, stawami kolanowymi do dołu (powierzchnie przyśrodkowe końców dalszych obu kości udowych stykają się ze sobą). Kości podudzia prawego przed podudziem lewym ułożone na powierzchniach przednich. Kość piętowa prawa dotyka do powierzchni przyśrodkowej



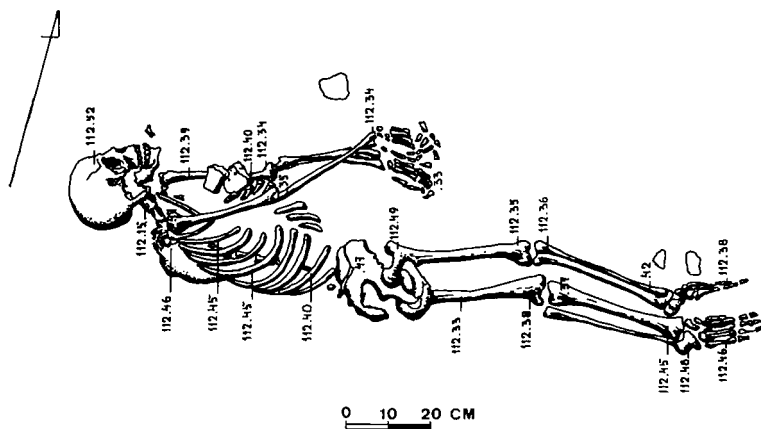
Ryc. 1. Dziekanowice, st. 22. Lokalizacja stanowiska na tle osadnictwa kultury przeworskiej (wg E. Dzieciotłowskiego 1991, ryc. 8)

końca dalszego lewej kości piszczelowej. Kości stopy lewej ułożone stroną podeszwową do góry, kości stopy prawej ułożone bocznie. Kości palców wyprostowane¹.

W jamie na lewej kości ramiennej spoczywały dwa niewielkie kamienie (kwarcyt i granit szary²), oraz drobinę węgla drzewnych (przed „twarzą” i klatką piersiową zmarłego). Fragmenty węgla drzewnych wystąpiły także pod szkieletem (najwięcej

¹ Takie ułożenie sugeruje możliwość bardzo ścisłego skrępowania zarówno podudzi i stóp, jak i przedramion powyżej nadgarstków.

² Analizę surowcową kamieni wykonał prof. dr hab. Janusz Skoczylas.



Ryc. 2. Dziekanowice, st. 22. Grób 18/92. (rys. P. Iwanowski)



Ryc. 3. Dziekanowice, st. 22. Grób 18/92 in situ (fot. J. Wrzesiński)



Ryc. 4. Dziekanowice, st. 22. Grób 18/92 — ułożenie rąk in situ.
(fot. J. Wrześniński)

pod miednicą i stopami). W przekazanej do analizy³ próbnie węgla drzewnych 55 % jej objętości stanowiły węgle drzewne pochodzące z sosny, 40 % z jesionu i 5 % z roślin liściastych rozprzeczłoniczyniowych. Pod czaszką znajdowało się skupisko 7 kamieni (2 × kwarc żyłowy, amfibolit, gnejs biotytowy, granit czerwony, piaskowiec kwarcytowy, sjenit) otoczek o średnicy od 4 do 12 cm, na których spoczywała płytką o wymiarach 10,3 × 8,0 × 0,8 cm wykonana z różowego piaskowca kwarcytowego jotnickiego (ryc. 5 i 6). Na wysokości podudzia i stóp wystąpiły 2 kości zwierzęce — kość ramienna świni i tarczka jesionu⁴.

Za czaszką w odległości ok. 15 cm znajdowała się jama o kształcie kolistym i średnicy ok. 80 cm (ryc. 7). Miąższość obiektu, o skośnych ścianach i płaskim dnie, wynosiła około 50 cm. W jego piaszczysto-żwirowym wypełnisku występowały drobiny węgla drzewnych, luźne kamienie (4 × gnejs i 1 × kwarcyt), oraz drobne, małocharakterystyczne fragmenty ceramiki pradziejowej.

Badany szkielet scharakteryzowano antropologicznie, dokonując opisu kranioskopijnego i podstawowych pomiarów czaszki i kości długich (R. Martin 1957). Charakterystykę antropologiczną czaszki zawarto w tabeli 1.

Opis morfologiczny czaszki: kompletna wraz z żuchwą (CR), z niewielkimi (mechanicznymi) uszkodzeniami prawej kości jarzmowej (brak wyrostka czółowego, uszkodzona jest ściana boczna i dno oczodołu), oraz z uszkodzoną żuchwą strony prawej (uszkodzona podstawa trzonu, brzeg dolny gałęzi i nieznacznie brzeg tylny, brak wyrostka kłykciowego).

Jest to czaszka średnioszeroka o kształcie w powierzchni górnej typu sphenoides (ryc 8). Szwy czaszkowe wykazują początki obliteracji a silniejsze zarastanie występuje w obrębie szwu strzałkowego (pars temporalis, pars verticalis). W powierzchni

³ Analizę wykonał mgr Tomasz Stępnik.

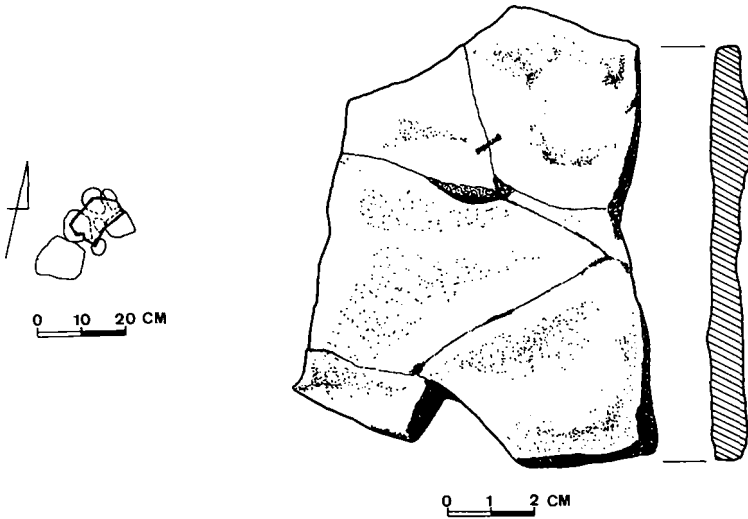
⁴ Analizę wykonał mgr Daniel Makowiecki.

Tabela 1

Ważniejsze pomiary czaszki			
pomiar	w mm	pomiar	w mm
g-op	184	pr-ba	95
g-i	182	gn-ba	107
n-i	177	zy-zy	140
g-l	181	zm-zm	101
n-l	179	n-gn	122
n-ba	101	n-pr	71
ba-sph	24	mf-mf	22
ba-o	34	mf-ek	38
eu-eu	139	wys.ocz.	33
ft-ft	97	szer.a.pir.	28
co-co	106	n-ns	50
st-st	108	ekm-ekm	63
au-au	133	ol-sta	41
ast-ast	105	enm-enm	41
ms-ms	107	gn-go	97
szer.f.mag.	32	id-gn	32
ba-b	132	kdl wys.	54
au-b	124	szer.ram.	31
n [^] b	132	g [^] op	276
b [^] l	133	g [^] i	312
l [^] i	55	n [^] l	265
i [^] o	66	n [^] i	320
n-b	114	b [^] i	186
b-l	119	au [^] au	293
l-o	91	po [^] po	301
l-i	53	Obwód poziomy	528
i-o	56		



Ryc. 5. Dziekanowice, st. 22. Skupisko kamieni in situ pod czaszką szkieletu w grobie 18/92
- (fot. J. Wrzesiński)



Ryc. 6. Dziekanowice, st. 22. Grób 18/92. Płytkami kamienna ze skupiska kamieni
(rys. P. Iwanowski)

tylnej sklepienie czaszki średnio wysokie, dachówkowe, z wyrazistą kreską karkową i guzowatością potyliczną zewnętrzną, według skali Martina IV. W obrębie szwu węglowego obserwuje się kostki wstawkowe. W powierzchni bocznej widoczne są miernie wykształcone kresy skroniowe, średniej wielkości, wydłużone wyrostki sutkowate (prawy wyrostek nieco większy). Potylica lekko spłaszczona, ścięta. Czoło wysokie, słabo pochylone z wyrazistymi guzami czołowymi, słabo zaznaczone łuki brwiowe. Gładyszka według skali Martina II (widoczny ślad po szwie międzyczołowym). Nasada nosa lekko spłaszczona, kości nosowe miernie wystające. Dolny brzeg otworu nosowego wykazuje typową formę Anthropina (wg Martina) tj. o ostrych brzegach z wystającym kolcem nosowym przednim. Doły ponadkątowe płytkie. Kształt oczodołów zbliżony w formie do trapezu. Łuki jarzmowe średnio wystające. Żuchwa wykazuje zaokrągloną bródkę, a kształt łuku żuchwy podobny jest do litery V. Zachowały się wszystkie zęby, są duże. Siekacze nieznacznie słoczone. Stopień starcia powierzchni żujących koron, według skali sześciostopniowej jest słaby, i wynosi 1° – 2° . Próchnicy zębowej nie stwierdzono. Na zębach widoczne są ślady kamienia nazębnego (zarówno na zębach żuchwy jak i szczęki, najsilniej na siekaczach i kłach). Żuchwa jest średnich rozmiarów, raczej delikatnej budowy, przy czym bródka jest dobrze zaznaczona, silnie wystająca.

Kości szkieletu postkranialnego zachowały się bardzo dobrze. Szkielet kompletny. Zachowały się wszystkie kości żeber, kręgi wszystkich odcinków kręgosłupa, mostek, łopatki, obojczyki, wszystkie kości kończyn górnych i dolnych, kości miednicze i kość

Tabela 2

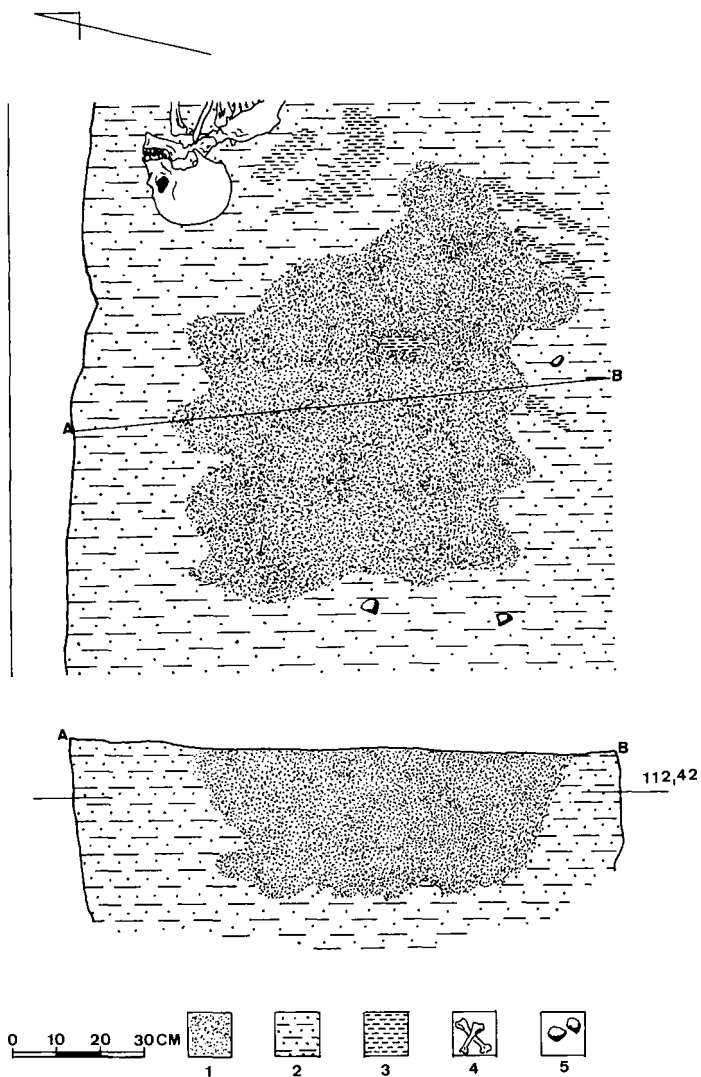
Wartości wskaźników i skład antropologiczny czaszki

Wskaźnik		Klasyfikacja wskaźnika
Szerokościowo-długościowy	$\frac{eu-eu}{g-op}$	75,54 średnioczaszkowy
Wysokościowo-długościowy	$\frac{b-ba}{g-op}$	71,73 średnioczaszkowy
Wysokościowo-szerokościowy	$\frac{b-ba}{eu-eu}$	94,96 średnioczaszkowy
Czołowo-szerokościowy	$\frac{ft-ft}{eu-eu}$	69,78 szerokoczołowy
Twarzy morfologicznej	$\frac{n-gn}{zy-zy}$	87,14 średniotwarzowy
Górnotwarzowy	$\frac{n-pr}{zy-zy}$	50,71 średniotwarzowy
Nosowy	$\frac{BAB}{n-ns}$	56 szerokonosy
Oczodołowy	$\frac{HO}{mf-ek}$	86,84 wysokooczodołowy
Wysokościowy Hrdlički-Kóčki	$\frac{b-ba}{g-op + eu-eu : 2}$	81,73
Pojemność czaszki wg. L. Manouviera	$\frac{g-opxeu-euxb-ba}{2}$	1,14 1480 cm ³
wg. T. Belniaka		1379 cm ³
wg. formuły Lee Pearsona		1309 cm ³
Moduł czaszki	$g-op+eu-eu+ba-b$	455
Skład antropologiczny w %	a-32 e-15 h-17 l-22 p-14	typ Alh

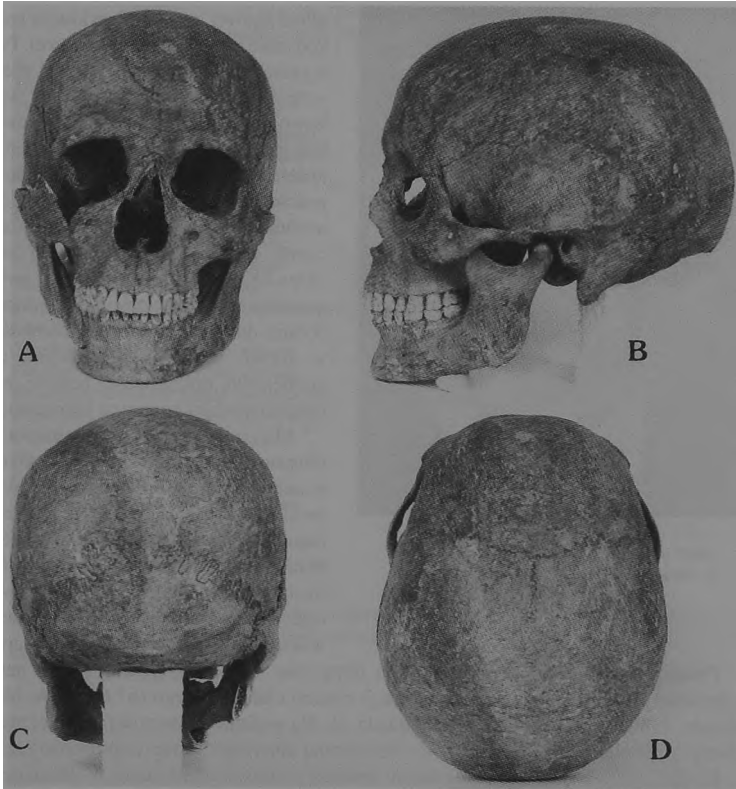
krzyżowa. Wykonano kompleksowe pomiary wszystkich kości szkieletu, wybrane pomiary kości długich zawarto w tabeli 3. Analizując cechy diagnostyczne stwierdzono, iż grzebień biodrowy kości miednicznych jest wąski, spójnienie łonowe wysokie, a kąt podłonowy ostry. Otwór zasłoniony owalny o brzegu zaokrąglonym, wcięcia kulszowe wąskie i głębokie. Talerze kości biodrowych ustawione pionowo. Miejsca przyczepów mięśniowych na kościach długich zaznaczone. Trzony kości długich charakteryzują się budową wysmukłą, raczej delikatną.

Cała czaszka ma budowę również delikatną, lecz o wyrazistych cechach diagnostycznych. Zarówno czaszka jak i reszta szkieletu wskazuje na pięć męską, osobnika zmarłego w wieku *Adultus* około 35 lat (J. Strzałko, M. Henneberg 1975).

Stwierdzono zmiany patologiczne szkieletu. Kość krzyżowa o zmienionej budowie (ryc. 9). Pierwszy kręg krzyżowy (S₁) nie jest całkowicie zrosnięty z drugim kręgiem (S₂). Po stronie lewej łączy się z nim stawowo. Obniżony jest też jego trzon. Różnicę wyrównuje ostatni kręg lędźwiowy (L₅) wyższy po stronie lewej (wysokość trzonu strony lewej 29 mm, prawej 27 mm). Obniżeniu uległa również powierzchnia uchowata strony lewej. Piąty kręg (S₅) ma zmieniony prawy wyrostek poprzeczny, tworzący dodatkowo łuk S₅ (nie zrosnięty). Zmienioną budowę ma również prawa kość pisz-



Ryc. 7. Dziekanowice, st. 22. Rzut poziomy i przekrój obiektu występującego za czaszką szkieletu grobu 18/92 (rys. P. Iwanowski). Legenda: 1 — popieleto-szary piasek; 2 — spiaszczona glina calcowa; 3 — glina calcowa; 4 — kości ludzkie; 5 — kamienie



Ryc. 8. Dziekanowice, st. 22. Grób 18/92 — wygląd czaszki w powierzchni przedniej (A), bocznej (B), tylnej (C) i górnej (D) (fot. M. Józwickowska)

czelowa i prawa kość strzałkowa. Nietypową budowę wykazuje także prawa kość skokowa i prawa kość piętowa (ryc. 10). Zmiany dotyczą powierzchni stawowych dwóch stawów: skokowo-goleniowego i skokowo-piętowo-łódkowego⁵. Przyczyna zniekształcenia pojawiła się prawdopodobnie między 17 a 20 rokiem życia po zróżnicowaniu chrząstek wzrostowych nasady dalszej piszczeli, a przed całkowitym ukończeniem wzrostu kostnego (widoczna jest duża różnica wielkości trzonów piszczeli zdrowej i chorej). W proces zwyrodnieniowy wciągnięte są powierzchnie stawów skokowo-goleniowego i piętowo-skokowego. Jednakże zakres zwyrodnienia jest większy w stawie skokowo-goleniowym. Powierzchnie stawowe mają podobny do strony zdrowej

⁵ Serdecznie dziękujemy za konsultacje ortopedzie Panu doktorowi Piotrowi Nowakowi.



Ryc. 9. Dziekanowice, st. 22. Grób 18/92
— niedorozwój lewej części krzyżowej
(fot. M. Józwickowska)

układ kątowy, co raczej wyklucza uszkodzenie urazowe kości skokowej. Powyższe uwagi przemawiają za pierwotnym uszkodzeniem w stawie skokowo-goleniowym, być może powikłanym procesem infekcyjnym (np. wskutek otwartego zwichnięcia). Bezpośrednio po zniknięciu przyczyny osobnik ten nie używał prawej kończyny dolnej do podpierania (przez okres ok. 2 lat). Dalsze procesy zwyrodnieniowe doprowadziły prawdopodobnie do praktycznej nieruchomości w stawie skokowo-goleniowym, co zmniejszyło dolegliwości bólowe, ale uniemożliwiało normalną lokomocję.

Materiał kostny opracowano według metod powszechnie stosowanych w antropologii. Pomiary mózgo- i twarzoczaszki oraz kości długich wykonano według techniki R. Martina (tabela 1,3). Na podstawie pomiarów obliczono wskaźniki określające proporcje czaszki (tabela 2). Klasyfikację wskaźników przyjęto wg. R. Marti-

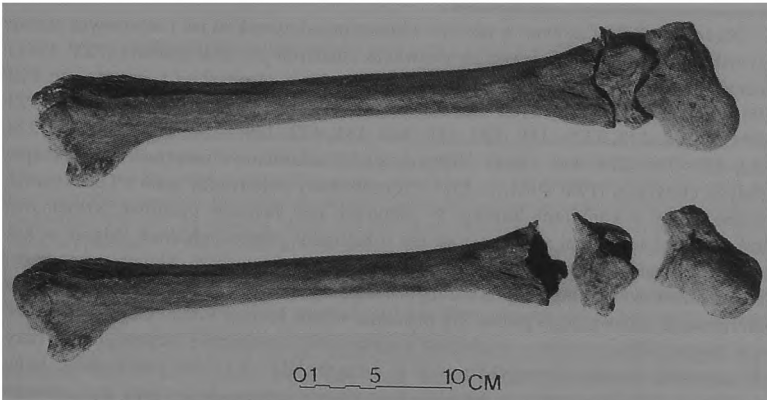
na. Pomiary kości długich pozwoliły na obliczenie wzrostu osobnika (1656 mm) (J. Strzałko 1971) i dokonanie rekonstrukcji ciężaru ciała zmarłego (67,6 kg) (A. Malinowski 1980, A. Wierciński 1980) (tabela 3). Na podstawie wartości metrycznych głównych osi ciała określono budowę somatyczną zmarłego na typ Leptosomatyczny (G. Kriesel 1976). Czaszkę analizowano metodą punktów odniesienia A. Wankego, stosując przy tym opracowane przez W. Kóćkę (1958) punkty odniesienia dla poszczególnych elementów antropologicznych. Na zespół cech morfologicznych badanego osobnika składają się w 32% cechy elementu nordycznego, w 15% śródziemnomorskiego, 17% armenoidalnego w 22% laponoidalnego i w 14% paleoeuropeoidalnego. Wyniki tej analizy przedstawia tabela 2. Analiza morfologiczna szkieletu pozwoliła na umiejscowienie urazu, określenie jego charakteru, przypuszczalnego sposobu powstania oraz skutku.

Opisany grób (wraz z jamą za czaszką) wystąpił pod warstwą kulturową z materiałem wczesnośredniowiecznym, nie przecinał jej (ryc. 11) i nie posiadał jakiegokolwiek przedmiotu ułatwiającego określenie jego chronologii. Wobec tego zwróciliśmy się o pomoc do Laboratorium C 14 Instytutu Fizyki Politechniki Gliwickiej⁶. W wyniku analizy, przeprowadzonej na kościach szkieletu, otrzymaliśmy datę 1890 BP ± 100.

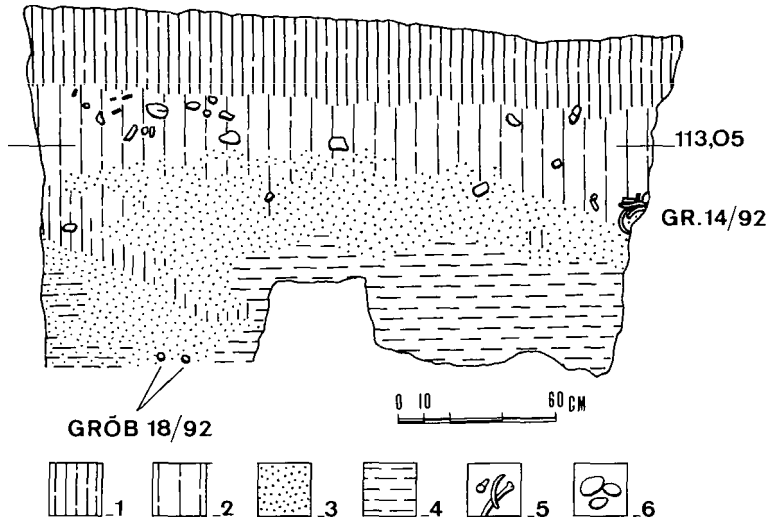
⁶ Serdecznie dziękujemy Państwu prof. prof. Annie i Franciszkowi M. Pazdurom za dotychczasową współpracę.

Tabela 3

Wybrane pomiary kości szkieletu pozaczaszkowego w mm.		
Długość największa obojczyka	P 148	L 149
Długość największa kości ramiennej	P 331	L 324
Obwód trzonu kości ramiennej	P 70	L 70
Szerokość nasady dolnej kości ramiennej	P 63	L 62
Długość największa kości promieniowej	P 237	L 237
Długość fizjologiczna kości promieniowej	P 224	L 223
Najmniejszy obwód kości promieniowej	P 45	L 42
Długość największa kości łokciowej	P 260	L 256
Długość fizjologiczna kości łokciowej	P 222	L 223
Najmniejszy obwód kości łokciowej	P 45	L 42
Długość największa kości udowej	P 419	L 425
Długość w naturalnym ułożeniu kości udowej	P 415	L 422
Obwód trzonu kości udowej	P 86	L 90
Szerokość nasady dolnej kości udowej	P 74	L 75
Długość największa kości piszczelowej	P 347	L 344
Największa szerokość nasady bliższej k.pisz.	P 71	L 74
Największa szerokość nasady dalszej k.pisz.	P 53	L 50
Obwód trzonu kości piszczelowej	P 71	L 81
Długość największa kości strzałkowej	P 343	L 341
Obwód trzonu kości strzałkowej	P 37	L 40
Wzrost (cm) wg M. Trotter i G. Gleser	P 167	L 166,5
wg L. Manouvriera	P 164,2	L 163,7
wg Breitingera	P 166,4	L 166
wzrost średni osobnika	1656 mm	
Ciężar ciała (kg) wg G. Gralla i in.		
z szerokości nasady dalszej kości ramiennej	69,2722 ± 3,92	
z szerokości nasady dalszej kości udowej	66,9575 ± 3,96	
Ciężar ciała (kg) wg G.F. Debec	65,655	
ciężar średni osobnika	67,6 kg	



Ryc. 10. Dziekanowice, st. 22. Grób 18/92 — zmiany powierzchni stawowych kości piszczelowej, kości skokowej i kości piętowej (fot. M. Józwickowska)



Ryc. 11. Dziekanowice, st. 22. Profil wschodni wykopu II/92 na wysokości grobu 18/92
(rys. W. Kujawa)

Legenda: 1 — warstwa orna; 2 — wczesnośredniowieczna warstwa kulturowa; 3 — żółty piasek calcowy; 4 — glina calcowa; 5 — kości; 6 — kamienie

Uzyskane datowanie wskazuje horyzont chronologiczny i może być wskazówką dla poszukiwań podobnych pochówków.

Na terenie Polski zarówno w późnym okresie przedrzymskim jak i wczesnym okresie rzymskim dominującym sposobem chowania zmarłych jest ciałopalenie (PZP 1981). Jednak niemal we wszystkich kulturach (z wyjątkiem oksywskiej i jastorfskiej; PZP 1981, s. 139, 191–200) tych okresów znane są także pochówki szkieletowe (PZP 1981, s. 108, 112, 117–118, 120, 138, 143, 151, 172, 179–180, 187, 208, 225, 228, 232, 251, 271, 279, 443–444). Niekiedy groby szkieletowe uważane są za przejaw tradycji celtyckiej (PZP 1981, s. 251). Prezentowany pojedynczy grób z Dziekanowice trudno łączyć z konkretną kulturą. W kulturach obu okresów pochówki szkieletowe zorientowane są niemal wyłącznie na osi o kierunku północ-południe, jedynie w kulturze wielbarskiej spotyka się częściej orientację wschód-zachód. Aktualny stan badań okresu przedrzymskiego jak i okresu rzymskiego rejonu Lednicy nie pozwala na szerszą interpretację omawianego grobu. Na obszarze wokół Jeziora Lednickiego zaobserwować można kilka rejonów o większym zagęszczeniu osadnictwa łączonego (wg dotychczasowych badań przeprowadzonych w ramach AZP) z kulturą przeworską. Jedno ze skupisk zlokalizowano przy południowym krańcu jeziora, drugie przy jego odnodze w partii płn zach., a trzecie nieco oddalone nad brzegami jeziora Sławno (ryc. 1). W odległości ok. 2–4 km na pd. od Jeziora Lednickiego znajduje się jeszcze jedno

niezwykle interesujące skupisko osadnicze kultury przeworskiej (z cmentarzyskiem i piecowiskami — materiały niepublikowane). Jednak zakres, dokładna chronologia i charakter osadnictwa wymienionych rejonów bez dodatkowych badań terenowych nie są możliwe do odtworzenia.

LITERATURA

- Dzięciotowski E. 1991, Rozmieszczenie stanowisk archeologicznych w Lednickim Parku Krajobrazowym, [w:] Wstęp do paleoekologii Lednickiego Parku Krajobrazowego, Biblioteka Studiów Lednickich 1, red. K. Tobolski, s. 43 – 56.
- Kóćka W. 1958, Zagadnienia etnogenezy ludów Europy, MiPAN 22.
- Kriesel G. 1976, Dalsze badania nad budową somatyczną człowieka, określoną w oparciu o morfologię szkieletu, [w:] Badania populacji ludzkich na materiałach współczesnych i historycznych. Materiały z naukowej sesji antropologicznej w dniu 17. X. 1975, s. 141 – 145, Poznań.
- Malinowski A. 1980, (red.) Antropologia fizyczna, Warszawa — Poznań.
- Martin R. 1957, Lehrbuch der Anthropologie, wyd. III, Stuttgart.
- Prahistoria Ziemi Polskiej, 1981, t. V, Późny okres lateński i okres rzymski.
- Strzałko J. 1971, Metody rekonstrukcji wzrostu człowieka na podstawie pomiarów szkieletu, PAN 37, s. 295 – 314.
- Strzałko J., Henneberg M. 1975, Określenie płci na podstawie morfologii szkieletu, PAN 41, s. 105 – 126.
- Wierciński A. 1980, Zmienność cech typów budowy ciała w ciągu ostatniego tysiąclecia na podstawie materiału szkieletowego z Wiślicy, MiPAN 98.
- Wrześniński A., J. 1992, Sprawozdanie z badań na wczesnośredniowiecznym cmentarzysku szkieletowym w Dziekanowicach, stan. 22, gm. Łubowo, woj. poznańskie, WSA 1, s. 103 – 112.
- 1993, Wczesnośredniowieczne cmentarzysko szkieletowe w Dziekanowicach, gm. Łubowo, woj. poznańskie, stan. 22 — sezon badawczy 1992, WSA 2, s. 157 – 184.
- 1995, Dwa interesujące groby z wczesnośredniowiecznego cmentarzyska szkieletowego w Dziekanowicach, gm. Łubowo, woj. poznańskie, stan. 22, WSA 3, s. 207 – 218.

„URGESCHICHTLICHES” GRAB AUS DZIEKANOWICE, GEM. ŁUBOWO

Zusammenfassung

Die Ausgrabungen auf dem frühmittelalterlichen Skelettgräberfeld, bezeichnet als Dziekanowice, Fst. 22 (Abb.1), begannen im 1964. In der Grabungsfläche II/92, eröffnet im 1992, wurde ein Skelett freigelegt, das 130 cm unter der gegenwärtigen Nutzfläche gelegt war (Abb. 2 und 3). Es lag auf linker Seite, mit dem Kopf nach Westen gerichtet. Die Grabgrube ist nicht deutlich. In der Grube befanden sich Steine, Holzkohlen, Tierknochen. Das sehr gut erhaltene Skelett ließ eine genaue anthropologische Analyse des Toten durchzuführen (Tabellen 1, 2 und 3). Der im Grab gelegte Tote war ein erwachsener Mann im Alter 35 Jahre, mit 1656 mm Höhe bei seiner Lebzeit und dem errechneten Körpergewicht von 67.6 kg. In dem Skelett wurden pathologische Änderungen des Kreuzbeins (Abb.9) und des rechten Beins (Abb.10) festgestellt. Hinter der Grabgrube befand sich eine Grube mit Sand- und Kiesfüllung und mit kleinen Holzkohlen, einzelnen Steinen und wenig charakteristischen Keramikscherben (Abb.7).

Das Grab (incl. Grube) befand sich unter einer frühmittelalterlichen Kulturschicht, hat diese nicht durchgeschnitten (Abb.11) und beinhaltet keinen Gegenstand, der die Chronologiebestimmung erleichtert. Das Skelettfragment wurde der Analyse mit C-14 Verfahren unterzogen und die erhaltene Datierung (1890 BP ± 100) weist auf das chronologische Horizont der Totenbestattung hin.

ABBILDUNGEN

Abb. 1. Dziekanowice, Fst. 22. Lage der Fundstelle auf dem Besiedlungshintergrund der Przeworsk Kultur (nach E. Dzieciolowski 1991, Abb.8)

Abb. 2. Dziekanowice, Fst. 22. Grab 18/92 (gez. P. Iwanowski)

Abb. 3. Dziekanowice, Fst. 22. Grab 18/92 in situ (Photo von J. Wrzesiński)

Abb. 4. Dziekanowice, Fst. 22. Grab 18/92 — Anordnung der Hände in situ (Photo von J. Wrzesiński)

Abb. 5. Dziekanowice, Fst. 22. Steinansammlung in situ unter dem Schädel des Skeletts im Grab 18/922 (Photo von J. Wrzesiński)

Abb. 6. Dziekanowice, Fst. 22. Grab 18/92. Steinplatte aus der Steinansammlung (gez. P. Iwanowski)

Abb. 7. Dziekanowice, Fst. 22. Grundriß und Querschnitt des Objekts hinter dem Skelettschädel im Grab 18/92 (gez. P. Iwanowski). Legende: 1 — aschgrau-grauer Sand; 2 — sandiger Untergrundlehm; 3 — Untergrundlehm; 4 — menschliche Knochen; 5 — Steine

Abb. 8. Dziekanowice, Fst. 22. Grab 18/92 — Ansicht des Schädels in vorderer (A), seitlicher (B), hinterer (C) und oberer (D) Oberfläche (Photo von M. Jóźwikowska)

Abb. 9. Dziekanowice, Fst. 22. Grab 18/92 — Unterentwicklung des linken Teils vom Kreuzbein (Photo von M. Jóźwikowska)

Abb. 10. Dziekanowice, Fst. 22. Grab 18/92 — Änderungen auf der Oberfläche des Schien-, Sprung- und Fersenbeins (Photo von M. Jóźwikowska)

Abb. 11. Dziekanowice, Fst. 22. Ostprofil der Grabungsfläche II/92 in Höhe des Grabes 18/92 (gez. W. Kujawa). Legende: 1 — Ackerbodenschicht; 2 — frühmittelalterliche Kulturschicht; 3 — gelber Untergrundsand; 4 — Untergrundlehm; 5 — Knochen; 6 — Steine